

九州大学工学部 正員 山内豊聰
同 ○安原一哉

1. まえがき 粘土の二次圧密の原因については議論が多く、統一した見解は得られていないが、二次圧密を粘弾性的性質に基づくクリアフ現象と考えるなら、それは実験室におけるような小さな供試体でも、載荷と同時に始まっているはずである。しかしながら、層厚が大きくなれば、長期にわたる一次圧密中に包含されてしまい、実際の現場では問題にならないというかつての石井博士⁽¹⁾の結論は、その理論的明解さもあって、その後の研究に大きな影響を与えていた。それゆえ、一次圧密中に含まれる二次圧密も実験室においても普通これを無視している。ところが泥炭等の有機質土においては、その相似法則も明らかでなく、圧密圧縮特性も著しく粘土とは異つており、からずしも石井理論が適用できるわけではない。かくて、この石井理論にもいくつか疑問な点があり、また Bjerrum⁽²⁾は層厚のかなり厚い、上部にサイロやオイルタンクのような構造物のある粘土層において、一次圧密が比較的早く終り、その後10~20年も二次圧密と考えられる低下が継続した例を報告しており、二次圧密については機持の余地のあることを示している。これらのことから、著者らは圧密において、とりわけ二次圧密の卓越すると考えられる有機質土について、その相似法則を明らかにする必要があると考え、検討中であるが、今回はその第一報として、二次圧密が高さの変化に伴いどのような法則性をもつて変化していくか、つまり石井理論が正しいとすれば、二次圧密が高さの変化につれて一次圧密にどのようになりかについて述べ、標準圧密試験に適合させてみた。供試体高さの影響については、統計的報告を予定している。

2. 有機質土の圧密特性について 泥炭のような有機質土に対しては、一般に Terzaghi 理論は全く適合出来ないと言われているが、実験結果からはめうるしそうとは断定できないようである。というのには、理論によれば圧密度D<50%の範囲では、Dと時間 t との間に近似的に次の関係があることが知られている。

$$D = 2 \sqrt{\frac{t}{\pi}} \quad (1)$$

(1)式を利用して実験結果を $d = \sqrt{t}$ にロットし、 d_{90} (90% 圧密終了時) を求め子のが理論に基づく Taylor

の方法であるが、泥炭(Y-1層)の圧密試験結果をこの方法によって整理してみると、粘土と同様に初期の直線部分がはつきり現れて、うまく d_{90} から d_{100} を求めうる。かえって、経験に基づく log t 法によつては、直線部分が明確ではなく整理していく。また著者らが行つた前田キ水圧の実測曲線を理論曲線と比較してみると、図-1 のようにかなり良く一致しており、これらのことから泥炭は、一次圧密の範囲では Terzaghi 理論によつて説明できだが、一次圧密終了後の二次圧密が卓越するためで、

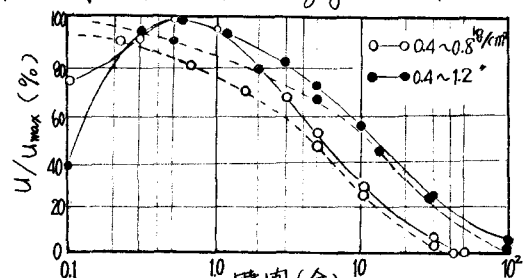


図-1. 泥炭の前田キ水圧消散曲線
(実線は理論曲線を示す)

理論に合致しないという風に誤解されているのではないかと思われる。

泥炭の圧密試験結果の整理方法については、著者らの行った実験結果では先述の様に、 $\log t$ 法では整理できないため、圧法あるいは大平氏らの提案する $\log \sim \log$ 法によって整理するのが良いと思われるが、両法の間に表-1 のごとく、その圧密結果にかなりの不一致がみられるため、既報において著者等は $\log t$ 法を実測することを提案した。また黒ボウのような有機質火山灰土においては、 $\log t$ 、 $\log \sim \log$ 、圧法のいずれでも整理ができるが、これらの間に表-1 のようにかなりの差がみられる。この問題について、三笠氏⁽⁵⁾は $\log t$ 法は一次圧密を過大に、二次圧密を過少に見積りすぎるとため、やはり理論に基づく圧法が良いとされているが、見方を変えれば $\log t$ 法あるいは $\log \sim \log$ 法も意義ある方法といふこともできる。といふのは、物性論の分野では転移といつ現象があるが、圧密をこれに類似した現象としてとらえるならば、半対数あるいは直角座標グラフ紙上における直線性に注目して求めると、一次圧密から二次圧密へ遷移する点 d_{100} (または t_{100} 分) は、ちょうど転移点 (図-2 における T_m) に匹敵するものと考えることができる。 $\log t$ 法は $\log \sim \log$ 法により圧密において土の物性の遷移する点を求めるとすれば、必ず $\frac{\partial T}{\partial t}$ しかも意義がないとはいえない。既報におけるように著者らの間で水圧密結果において、無機質土においてであるが、 $\log t$ 法が良く適合できるとの結論が得られたのは、これらのことと裏付けていふのではないかと思われる。

3. 一次圧密に含まれる二次圧密の取扱いについて 圧密において二次圧密が一次圧密とは全く分離して起るというふうに一般に理解されているが、これは圧密試験において持性値を求めるとき以前の構成的・慣性的に一次圧密終了点 d_{100} を決めることだが、慣例として行なわれてゐるためであろうが、実際には二次圧密は載荷と同時に一次圧密中に起つてゐるはずであり、このことはもとより強張され 図-2. 固体の二次転移でもよいと思う。次にその一次圧密中に含まれる二次圧密量の経験的な分離方法についてである。

1) 等方法: 1921-10の71-70について、1931年に Straub⁽⁶⁾ および Nutting が "Scott-Blair" による式を用いて時間軸の一般式を導いたのである。泥炭の圧密特性について次のようすは簡単なべき級数を考える。

$$d = k_1 \sigma^{m_1} t^n \quad (2)$$

ここで d : 变形量, σ : き力, t : 時間, k_1 : 初期係数

(2)式の两边の対数をとると

$$\log d = \log k_1 + m_1 \log \sigma + n \log t \quad (3)$$

圧密試験においては、 $\sigma = \text{const.}$ とおえてよいから、(3)は改めて次の様に書ける。

$$\log d = k_2 + n \log t \quad (4)$$

表-1. 各適合法による二次圧密比の比較

試料	泥炭(ソラ層)			黒ボウ		
	圧法	$\log t$ 法	$\log \sim \log$ 法	圧法	$\log t$ 法	$\log \sim \log$ 法
0.25	0.851	—	0.764	0.653	—	0.706
0.50	0.742	—	0.674	0.456	0.354	0.368
0.75	0.586	—	0.631	0.422	0.250	0.261
1.0	0.536	—	0.468	0.328	0.228	0.210
1.5	0.526	—	0.341	0.243	0.304	0.243
2.0	0.476	—	0.228	0.152	0.101	0.114

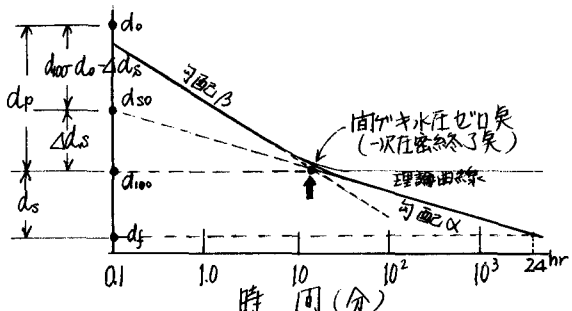
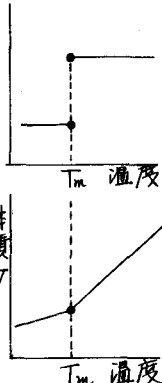


図-3. 泥炭の時間・沈下曲線 (対数表示)

(4)式によれば、変形量と時間の関係は直線とならねばならないが、実験曲線は後に図-4.で示す様に二つの直線で表わされる。この初期の直線部分の正当性は理論的近似式(1)式の式数

$$\log T = \frac{1}{2} \log \frac{T_0}{\pi} = \frac{1}{2} (\log T_0 + \log \pi) = \frac{1}{2} \log T_0 + C \quad (5)$$

が両対数紙上で直線となることからも実証できる。この後半の直線部分が二次圧密を表わすと考えられるが、その直線性に注目して次の様な操作を施し、一次圧密中の二次圧密量を分離するのが一つの経験的方法である。図-3.を参照しながら説明する。後半部の二次圧密部分の直線が載荷当初から始まつて113と見てこの直線を基に延長する。 $t=0.1\text{ min}$ との変化を d_{s0} とし、 $(d_{so}-d_s) = \Delta d_{st}$ を ΔS 量を一次圧密中に含まれる二次圧密量とすれば、実質の二次圧密量は $d_s = d_s + \Delta d_s$ となり、二次圧密比 r_s は次のよう修正される。

$$r_s' = d_s / \Delta S = (d_s + \Delta d_s) / \Delta S \quad (6)$$

2)オII法: 分離するもう一つの経験的方法は次のようである。この方法の基礎とは子仮定は、一次圧密中に含まれる二次圧密と一次圧密とはある一定比をもって発生して113、といふことである。その一定比をきめる常数として一次圧密、二次圧密の速度勾配とも言うべき直線の勾配 α 、 β を考える。そして $(d_{so}-d_s)$ においては $(\alpha:\beta)$ をもつて一次圧密と二次圧密が走っているものとする。これによれば、 $(d_{so}-d_s)$ 中の二次圧密量は $(d_{so}-d_s) \times \alpha / (\alpha+\beta)$ となり、二次圧密比 r_s' は次のようになる。

$$r_s'' = d_s / \Delta S = \{ d_s + (d_{so}-d_s) \times \alpha / (\alpha+\beta) \} / \Delta S \quad (7)$$

以上はおもに、泥炭両対数表示による場合についてのみ考えてみたが、同じ有機質土でも黒ボクのようないーム復火火山灰土では、普通両対数より片対数で表示する。しかし、これを両対数で整理し直してみると片対数同様あるいはそれ以上によく整理でき泥炭同様二つの直線で表わしうる。それゆえ、 $\log - \log$ 法が有機質土を統一して取扱いうると判断し、ここでは繁雑を避ける意味もあって、 $\log - \log$ による整理結果のみについて考える。

4. 実験適用例: 泥炭と黒ボクについて、標準圧密試験を行ひ前項にのべた方法で整理してみた。実験は荷重増加比 4% の影響を考えため、 $0.4 \sim 0.5, 0.6, 0.7, 0.8, 1.0, 1.2 \text{ kg/cm}^2$ の6種類とした。夫々の時間沉下曲線を図-4.に、またI法、オII法による二次圧密比の修正値および $\log - \log$ 法、 $\log t$ 法(黒ボクのみ)によって求められる二次圧密比と荷重増加比との関係を図-5.に示す。荷重増加比が大になれば、二次圧密比の小さなことは過去の研究においては周知のことであるが、図-6.に示すように、一次圧密中に含まれる二次圧密量にも同じ傾向がみられる。これを説明するためには結局二次圧密の原因を

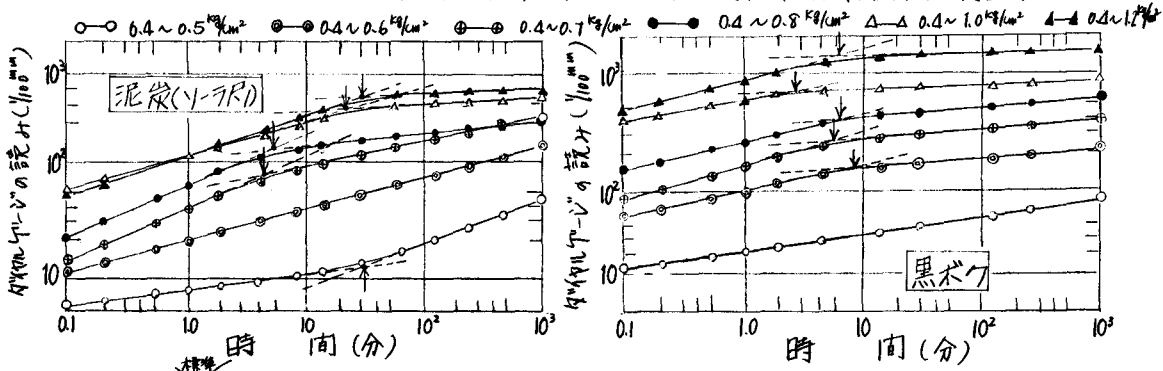


図-4. 圧密試験結果による時間沉下曲線(両対数表示)

考えねば説明がつかない。二次圧密の原因については、それまでも述べたようにはつきりわからてはいないが、(1) 図-7. に示すように粘土粒子間の構造がより低位に向か再調整されるときに、吸着水の粘性抵抗によって時間遅れを生ずる。(2) 非等方剪力状態におけるせん断応力による粒子のクリープ、(3) 土粒子自体が粘性流動あるいは塑性流動を起す等を考えねばよい。小さな荷重増加比では、これらの

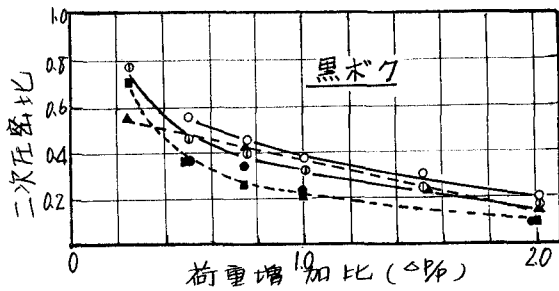
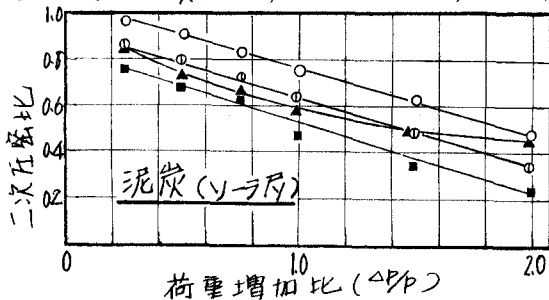
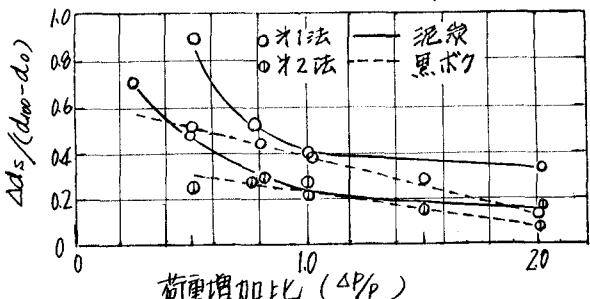


図-5. 修正された二次圧密比と荷重増加比との関係 (○○ I法, ○○ II法, □△ III法, ●● log I法, ■■ log II法)

*時間遅れがクリープ的、ゆっくり起るが、増加比が大きになると、粘性抵抗やクリープの降伏値を越えないので、短時間内にあるいは載荷瞬時に滑動なり降伏なりが起つてしまい、時間的遅れとしてのクリープが起らなくなつたためである。同時に透水性の問題も併せて考慮すべきである。つまり同程度の透水係数を持った状態で、限られた時間内しか測定しない室内実験では、荷重が大きくなれば、それに適応する

図-6. 一次圧密中の二次圧密量と荷重増加比の関係



これらの結果からは、両法のどちらをとっても整理できることは判然としているが、相似法則を充実する中で考察してゆきたいと考えている。

引用文献 (1)石井清丸他:冲積粘土の工学的性質に関する研究, 土工学

論文集, Vol.30, 1965. (2) Bjerrum, L.: Secondary Settlements of Structures Subjected to Large Variations in Line Load, I. I.T.A.M.Symp. Rheol. Soil Mech., 1964. (3) 大平至徳・小谷章: 壓密試験の一整理法、

第3回土質工学研究発表会講演集, 1968 (4)山内豊聰・原一哉: 有機質土の圧密試験における間隔水压の測定、第4回土質工学研究発表会講演集, 1969 (5)三井

正人: 圧密試験の整理方法について、第19回土木学会地盤力学講演概要, 1962

(6) ライ著、柳深訳: ハロジの基礎理論, 1974 (7)赤井浩一他: 有効応力より

みた飽和粘土の一次元圧密と強度特性に関する研究、土木学会論文集, Vol.113, 1965

(8) Barde, L: Secondary Consolidation of Clay and Peat, Geotechnique, Vol.18, 1968.

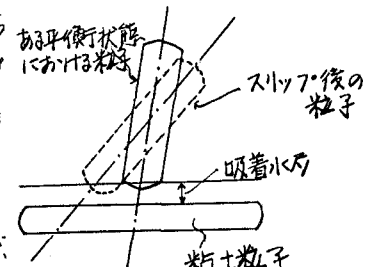


図-7. 粘土粒子の構造模型
(藤本広, 1967)

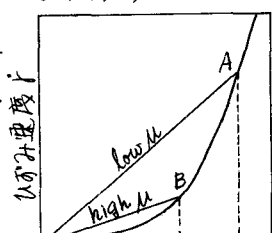


図-8. 有効応力の変化

(Barde, 1968)